

01:05

Ab initio моделирование влияния примесных ионов Zr на атомную и электронную структуру BaTiO₃

© А.Н. Чибисов

Институт геологии и природопользования ДвО РАН, Лаборатория керамического материаловедения, 675000 Благовещенск, Россия
e-mail: andreichibisov@yandex.ru

(Поступило в Редакцию 25 февраля 2010 г.)

Теоретически исследовано влияние примесных ионов циркония на атомную и электронную структуру кубического титаната бария методом функционала электронной плотности и теории псевдопотенциалов. Показано, что ионы Zr наводят локальные искажения в решетке BaTiO₃, при этом сами ионы циркония и титана не смещаются из своих идеальных положений и в целом структура соединений BaTi_{1-x}Zr_xO₃ остается кубической. Внедрение циркония в количестве до 37.5 at.% приводит к уширению запрещенной зоны на 0.18 eV.

Введение

В последнее время благодаря своим интересным физическим и технологическим свойствам в оптоэлектронике все большее применение находят структурно-разупорядоченные полупроводники титанатов и цирконатов со структурой перовскита ABO_3 (где $B = Ti$, $A = Ba$, Pb , Sr , Zr и т.д.). Оптические свойства разупорядоченных полупроводников характеризуются наличием широкой зоны, отвечающей за их фотолюминесценцию [1]. Соединения BaTi_{1-x}Zr_xO₃ (BTZ) являются твердыми растворами, проявляющими паразелектрические или сегнетоэлектрические свойства в зависимости от их состава (x) и окружающей температуры [2]. При $0.25 \leq x \leq 0.5$ данные материалы проявляют свойства, подобные типичным сегнетоэлектрикам-релаксаторам [3], характеризующиеся частотно-зависимой аномальностью диэлектрических свойств в широком диапазоне температур [4]. Кристаллическая структура BTZ при $0.25 \leq x \leq 0.5$ остается кубической (с пространственной группой $Pm\bar{3}m$) при любых температурах [5], а при добавлении ионов циркония к титанату бария происходит изовалентное замещение ионов $Ti^{4+} \rightarrow Zr^{4+}$, что должно приводить к наведению так называемых „упругих полей“ [4], которые могут влиять на смещение сегнетоэлектрически активных ионов Ti^{4+} [6]. Анализ локальной структуры соединений BaTi_{1-x}Zr_xO₃ в окружении примесных атомов Zr методами рентгеновской дифракции и EXAFS-спектроскопии показывает [4], что данные методики дают различную структурную информацию. Согласно EXAFS-спектроскопии (Extended X-ray Absorption Fine Structure — метод протяженной тонкой структуры) расстояние между атомом циркония и его ближайшим соседом — кислородом — не зависит от содержания Zr и равно расстоянию Zr—O, полученному в чистом BaZrO₃. Однако рентгеновская дифракция указывает на увеличение постоянной ячейки по закону Вегарда, т.е. объем элементарной ячейки линейно уве-

личивается от значения, соответствующего BaTiO₃, до значения, соответствующего ячейке BaZrO₃ [4].

Одним из перспективных направлений использования пигментов на основе титаната бария является применение их в качестве терморегулирующих и отражающих покрытий, при этом замена легирующих добавок позволяет регулировать отражательную, а соответственно и термостабилизирующую, способность материала. По нашему мнению, все эти вопросы до конца не изучены и требуют более детального исследования. Поэтому данная работа посвящена теоретическому исследованию влияния ионов Zr на атомную и электронную структуру BaTiO₃ в структуре перовскита.

1. Метод и детали расчетов

В работе использовался пакет квантово-механических вычислений ABINIT [7], построенный на основе теории функционала электронной плотности и методе псевдопотенциалов. Псевдопотенциалы для атомов Ba, Ti и O конструировались с помощью программы fhi98PP [8], проверялись на отсутствие „ложных состояний“, а также на получение корректных данных для постоянной решетки и объемного модуля упругости для титаната бария.

Элементарная ячейка BaTiO₃ со структурой перовскита имеет кубическую сингонию с пространственной группой $Pm\bar{3}m$ и количеством формульных единиц $Z = 1$ (рис. 1). Для моделирования элементарной ячейки использовался специальный набор k -точек (20 k -точек) по схеме Монхроста–Пака [9]. Для расчета атомных структур, содержащих примесные атомы Zr, использовалась суперъячейка Ba₈Ti₈O₂₄ (т.е. с удвоенным значением постоянных ячейки) с набором из 8 k -точек. Полноэлектронный расчет производился в приближении локальной плотности (LDA) без спиновой релаксации. Применение данного метода оправдано тем, что при внедрении ионов циркония в решетку BaTiO₃ соблюдается электронейтральность атомной системы, что не должно приводить к появлению дефектов в системе.

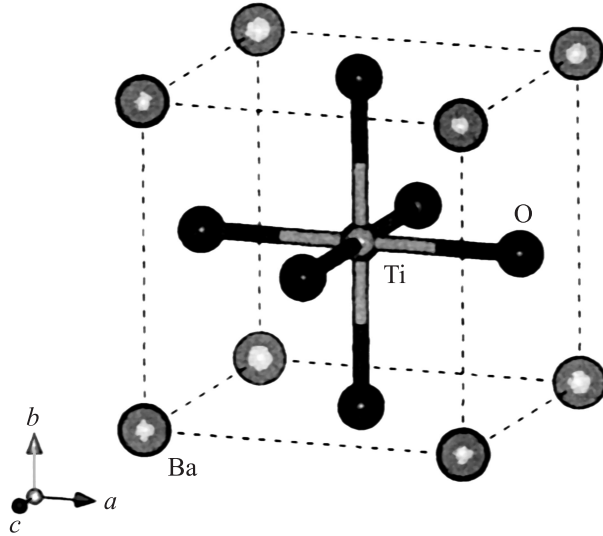


Рис. 1. Элементарная ячейка BaTiO₃.

Кроме того, метод LDA дает более корректные данные по межатомным расстояниям, а соответственно и постоянным ячейки. Производилась полная релаксация атомной структуры со сходимостью полной энергии порядка $3 \cdot 10^{-5}$ eV, а межатомные силы не превышали значения 0.008 eV/Å. Энергия обрезания плоских волн составляла 1088 eV.

2. Результаты расчетов и обсуждение

2.1. Атомная структура

Полноэлектронный расчет на элементарной ячейке титаната бария, в структуре перовскита, приводит к значению постоянной ячейки $a = 3.965$ Å с объемным модулем упругости $B = 210$ GPa. Данные результаты хорошо совпадают с экспериментальными результатами $a = 3.996$ Å [10]; $B = 195 \pm 5$ GPa [11]. Анализ распределения электронов по оболочкам в чистом BaTiO₃ показывает, что ширина запрещенной зоны, при расчете элементарной ячейки с набором из 20 k -точек, равна 2.28 eV. Для 40-атомной суперъячейки Ba₈Ti₈O₂₄, с набором из 8 k -точек, ширина запрещенной зоны E_g в точке Г равна 1.91 eV, что хорошо согласуется с теоретическими данными: 1.88 [12] и 1.98 eV [13]. Экспериментальное значение ширины запрещенной зоны составляет 3.20 eV [14], полученное нами теоретическое значение E_g получается несколько заниженным из-за хорошо известных особенностей теории функционала электронной плотности.

Цирконий как четырехвалентный элемент замещает титан в решетке BaTiO₃. Значения вводимых концентраций Zr составляли 25 и 37.5 at.%, причем распределение примесных ионов Zr по атомным позициям в суперъячейке Ba₈Ti₈O₂₄ соответствовало эксперимен-

тальным данным по EXAFS-спектроскопии [4]. Действительно, из [4] известно, что ионы циркония в решетке титаната бария располагаются как ближайшие соседи по отношению друг к другу по позициям Ti в октаэдрах TiO₆. Поскольку цирконий обладает большим значением ионного радиуса по сравнению с титаном ($r_{\text{Zr}}/r_{\text{Ti}} = 1.096$), то внедрение примеси Zr приводит к увеличению постоянной решетки, а соответственно и объема элементарной ячейки титаната бария. Введение 25 at.% циркония приводит к увеличению постоянной ячейки с 3.965 до 4.010 Å, а введение 37.5 at.% — до 4.034 Å. При этом в решетке BaTi_{1-x}Zr_xO₃ происходит локальное искажение структуры в окружении примесных ионов циркония. В чистом BaTiO₃ объем октаэдра TiO₆ составляет 10.391 Å³, а межатомное расстояние Ti—O равно 1.983 Å, что хорошо согласуется с результатами работы [4]. Октаэдры TiO₆ имеют идеальную структуру с равными ребрами. Отметим, что здесь и далее через NN (от англ. nearest neighbor) будем обозначать ближайший соседний октаэдр, а через NNN (от англ. next nearest neighbor) — следующий ближайший соседний октаэдр к октаэдру ZrO₆, образуемому примесным атомом Zr (см. рис. 2).

Внедрение 25 at.% циркония (что соответствует наличию двух атомов Zr в суперъячейке Ba₈Ti₈O₂₄) приводит к увеличению объема ближайшего соседнего октаэдра V_{NN}(TiO₆) до 10.435 Å³, а V_{NNN}(TiO₆) — до 10.621 Å³ (табл. 1). Среднее значение межатомного расстояния Ti—O в октаэдрах NN составляет $d = 1.986$ Å, а в NNN $d(\text{Ti—O}) = 1.997$ Å. Степень искажения октаэдров TiO₆ и ZrO₆ при внедрении примесных атомов Zr в матрицу титаната бария можно характеризовать коэффициентом дисторсии D , который показывает усредненное изменение длины связи в октаэдрах при искажении их идеальной структуры [15]. Значение коэффициента D

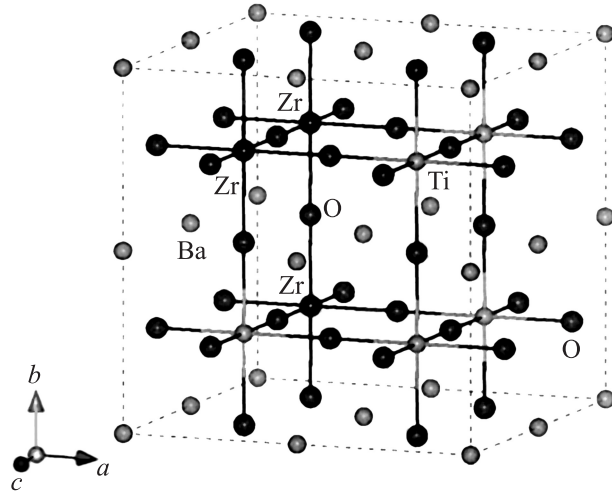


Рис. 2. Расположение NN- и NNN-октаэдров в суперъячейке Ba₈Ti₈O₂₄.

Таблица 1. Параметры локального искажения в $\text{BaTi}_{1-x}\text{Zr}_x\text{O}_3$: V — объем октаэдра, d — межатомное расстояние, D — коэффициент дисторсии

$\text{BaTi}_{1-x}\text{Zr}_x\text{O}_3$	$x = 0$	$x = 0.250$	$x = 0.375$
$V(\text{TiO}_6), \text{\AA}^3$			
NN	10.391	10.435	10.486
NNN		10.621	10.733
$d(\text{Ti}-\text{O}), \text{\AA}$		—	—
NN	1.983	1.986	1.987
NNN		1.997	2.004
D_{TiO_6}		—	—
NN	0	0.018	0.019
NNN		0.003	0.004
$V(\text{ZrO}_6), \text{\AA}^3$		11.543	11.409
NN	—	11.543	11.691
NNN		—	—
$d(\text{Zr}-\text{O}), \text{\AA}$		2.054	2.046
NN	—	2.054	2.062
NNN		—	—
D_{ZrO_6}		0.016	0.017
NN	—	0.016	0.016
NNN		—	—

Таблица 2. Зависимость параметров элементарной ячейки $a = b = c$ и объема V от содержания циркония в $\text{BaTi}_{1-x}\text{Zr}_x\text{O}_3$

x	$a = b = c, \text{\AA}$	$V, \text{\AA}^3$
0	3.965	62.335
0.250	4.010	64.481
0.375	4.034	65.646

определяется как

$$D = \frac{1}{n} \sum_{i=1}^n \frac{|l_i - l_{\text{av}}|}{l_{\text{av}}},$$

где $n = 6$ для октаэдра, l_i — расстояние от центрального атома в октаэдре до i -й вершины, а l_{av} — среднее значение длины связи в октаэдре. Таким образом, для чистого кубического титаната бария $D = 0$, а при внедрении 25 at.% Zr коэффициенты искажения NN- и NNN-октаэдров составляют $D_{\text{NN}} = 0.018$, а $D_{\text{NNN}} = 0.019$. Объемы октаэдров ZrO_6 составляют 11.543\AA^3 , а среднее межатомное расстояние Zr—O в них равно 2.054\AA .

При внедрении 37.5 at.% циркония (что соответствует наличию трех атомов Zr в суперъячейке $\text{Ba}_8\text{Ti}_8\text{O}_{24}$) объем $V_{\text{NN}}(\text{TiO}_6) = 10.486 \text{\AA}^3$, а $V_{\text{NNN}}(\text{TiO}_6)$ составляет 10.733\AA^3 . Средние межатомные расстояния Ti—O в октаэдрах NN практически равны расстояниям в таких же октаэдрах при $x = 0.25$. Таким образом, степень искажения октаэдров NN больше, чем NNN, поскольку октаэдры NN являются своеобразной „границей разделя“ между фазами BaTiO_3 и BaZrO_3 . Что касается

октаэдров ZrO_6 , то при внедрении 37.5 at.% циркония объемы окружающих октаэдров NN больше.

В целом результаты расчетов структурных характеристик системы $\text{BaTiO}_3-\text{BaZrO}_3$ хорошо согласуются с экспериментальными результатами работы [4]. Авторы также наблюдали локальное искажение октаэдров ZrO_6 и объясняли эти искажения смещением ионов Zr на расстояния порядка 0.07\AA от их идеальных положений. Однако, согласно результатам настоящих расчетов, ионы Zr и Ti не смещаются из своих идеальных положений (соответствующих чистому BaTiO_3), а наблюдается дисторсия кислородной подрешетки, причем тем сильнее ее искажения, чем больше концентрация примесных ионов Zr. Наблюдаются также смещения ионов Ba из своих идеальных позиций, причем эти смещения совершаются в плоскости, перпендикулярной линии связи двух соседних октаэдров ZrO_6 .

В табл. 2 приведены равновесные значения постоянных решетки и объема элементарной ячейки $\text{BaTi}_{1-x}\text{Zr}_x\text{O}_3$ с концентрацией примеси $x = 0$, 0.250 и 0.375.

2.2. Электронная структура

Внедрение атомов циркония в титанат бария не приводит к изменению количества валентных электронов в системе, что не должно сильно сказываться на изменении электронной структуры $\text{BaTi}_{1-x}\text{Zr}_x\text{O}_3$.

Как ясно из рис. 3, характеризующего полную плотность электронных состояний для $\text{BaTi}_{1-x}\text{Zr}_x\text{O}_3$, внедрение примесных атомов циркония приводит только к изменению ширины запрещенной зоны и практически не приводит к изменению распределения электронов по оболочкам в валентной зоне и зоне проводимости.

Таким образом, внедрение 25 at.% циркония приводит к увеличению ширины запрещенной зоны от 1.91 eV до 2.01 eV , а внедрение 37.5 at.% — увеличивает ширину запрещенной зоны до 2.09 eV . Данные результаты

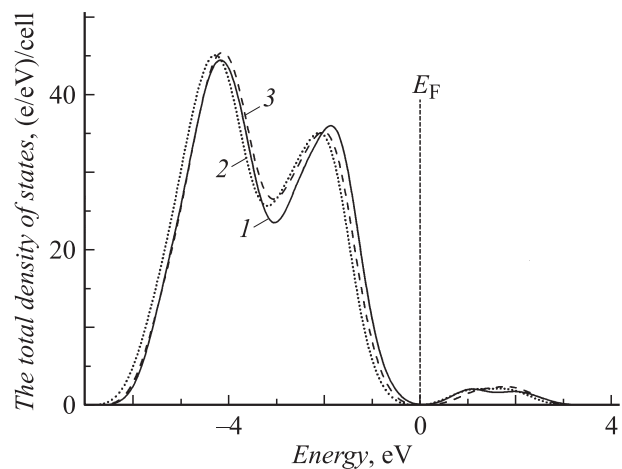


Рис. 3. Полная плотность электронных состояний для $\text{BaTi}_{1-x}\text{Zr}_x\text{O}_3$: 1 — $x = 0$; 2 — 0.250; 3 — 0.375. E_F — уровень Ферми.

хорошо согласуются с экспериментальными данными работы [16], где авторы также наблюдали увеличение ширины запрещенной зоны при внедрении примесных ионов Zr.

При внедрении атомов циркония ковалентная связь, характерная для связи Ti—O, становится более ионной для Zr—O, что приводит к увеличению расстояний Zr—O по сравнению с расстояниями Ti—O. Из-за разности размеров ионов циркония и титана в позициях Zr локализуется больший электронный заряд, чем в позициях Ti (для чистого BaTiO₃). Следовательно, для сохранения электронейтральности в решетке, заряды на атомах перераспределяются таким образом, что структура соединений BaTi_{1-x}Zr_xO₃ ($0.25 \leq x \leq 0.5$) остается кубической, с пространственной группой $Pm\bar{3}m$, при любых температурах [5], несмотря на искажение локальной структуры октаэдров ZrO₆ и TiO₆. В дальнейших наших работах будет показано, что данное разупорядочение, возникаемое при внедрении ионов Zr, практически не приводит к изменению механических свойств соединений BaTi_{1-x}Zr_xO₃ ($0.25 \leq x \leq 0.5$), в данной работе показано, как данная дисторсия решетки отражается на электронной структуре соединений BTZ.

Заключение

Методом функционала электронной плотности и теории псевдопотенциалов проведено компьютерное моделирование влияния примесных ионов Zr на атомную и электронную структуру титаната бария в фазе перовскита. Показано, что ионы циркония наводят локальные искажения в решетке BaTiO₃, приводят к дисторсии кислородных подрешеток в октаэдрах ZrO₆ и TiO₆ и смещению ионов кислорода и бария из своих идеальных положений (по сравнению с чистым BaTiO₃). Однако при этом ионы циркония и титана не смещаются из своих идеальных положений и в целом структура соединений BaTi_{1-x}Zr_xO₃ остается кубической несмотря на локальные искажения в решетке.

Анализ плотности электронных состояний показывает, что внедрение примеси Zr в количестве до 37.5 at.% приводит к уширению запрещенной зоны на 0.18 eV.

Автор выражает благодарность руководству Вычислительного центра Дальневосточного отделения РАН за предоставленный доступ к вычислительному кластеру.

Список литературы

- [1] Moreira M.L., Gurgel M.F.C., Mambrini G.P. et al. // J. Phys. Chem. A. 2008. Vol. 112. P. 8938.
- [2] Anicete-Santos M., Cavalcante L.S., Orhan E. et al. // Chem. Phys. 2005. Vol. 316. P. 260.
- [3] Горев С., Бондарев В.С., Флеров И.Н. // ФТТ. 2005. Т. 47. С. 2212.
- [4] Laulhé C., Hippert F., Kreisel J. et al. // Phys. Rev. B. 2006. Vol. 74. P. 014 106.
- [5] Sciau P., Calvarin G., Ravez J. // Solid State Commun. 2000. Vol. 113. P. 77.
- [6] Farhi R., Marssi M., Simon A., Ravez J. // Eur. Phys. J. B. 2000. Vol. 18. P. 605.
- [7] <<http://www.abinit.org/>>
- [8] Fuchs M., Scheffler M. // Comp. Phys. Commun. 1999. Vol. 119. P. 67.
- [9] Monkhorst H.J., Pack J.D. // Phys. Rev. B. 1976. Vol. 13. P. 5188.
- [10] Milsui T., Nomura S. Numerical Data and Functional Relationships in Science and Technology. N Y: Landolt-Bornstein III, 1981. Vol. 16.
- [11] Fischer G.J., Wang Z., Karato S. et al. // Phys. Chem. Miner. 1993. Vol. 20. P. 97.
- [12] Khenata R., Sahnoun M., Baltache H. et al. // Solid State Commun. 2005. Vol. 136. P. 120.
- [13] Piskunov S., Heijets E., Egilitis R.I. et al. // Compt. Mater. Sci. 2004. Vol. 29. P. 165.
- [14] Wemple S.H., Didomenico M., Camlibel I. // J. Phys. Chem. Solids. 1968. Vol. 29. P. 1797.
- [15] Baur W.H. // Acta Crystallogr. Sect. B: Struct. Sci. 1974. Vol. B30. P. 1195.
- [16] Wu D., Sciau Ph., Schamm S. et al. // J. Phys. D: Appl. Phys. 2007. Vol. 40. P. 4701.